

вает переходный процесс. Положение этой точки определяет величину L . Оценку L можно получить явно из вида $A(x)$, $B(x)$ в области параметрического развития триады [10]:

$$\left| \frac{a(x_1)}{b(x_1)} \right| = \left| \frac{a(x_0)}{b(x_0)} \exp \left[\frac{b(x_0) v_1 S}{\gamma v} \exp \int_{x_0}^{x_1} \gamma_1 \frac{dx}{v_1} - \int_{x_0}^{x_1} \gamma_1 \frac{dx}{v_1} \right] \right| \approx \frac{1}{10}.$$

Определение L имеет практическое значение для управления переходом в пограничном слое. Следует, однако, подчеркнуть, что рассматриваемые условия соответствуют идеальным управляющим вибраторам, не влияющим на уровень субгармонических колебаний. В реальных условиях это, по-видимому, не так. Лента возбуждает спектр низкочастотных возмущений. Последние, сами взаимодействуя, могут обусловить переход. Исходя из этого, можно рекомендовать располагать управляющие устройства в области Re , в которой субгармонические колебания остаются устойчивыми.

Полученные результаты позволяют описать механизм ЭУ в рамках простой модели и подтверждают представление о резонансно-волновой природе начальной стадии S -перехода.

В заключение авторы выражают благодарность В. Я. Левченко за внимание к работе.

ЛИТЕРАТУРА

1. Качанов Ю. С., Козлов В. В., Левченко В. Я. Возникновение турбулентности в пограничном слое.— Новосибирск: Наука, 1982.
2. Герценштейн С. Я., Штемлер Ю. М. Нелинейное развитие возмущений в пограничных слоях и их устойчивость.— ДАН СССР, 1977, т. 234, № 6.
3. Зельман М. Б., Масленикова И. И. Об эффектах резонансных взаимодействий волновых возмущений в пограничном слое.— Изв. АН СССР. МЖГ, 1984, № 4.
4. Зельман М. Б., Масленикова И. И. О резонансном взаимодействии пространственных возмущений в пограничном слое.— ПМТФ, 1985, № 3.
5. Herbert T. Subharmonic three-dimensional disturbances in unstable plane shear flows. AIAA Paper N83-1759, 1983.
6. Штерн В. Н. О неустойчивости к трехмерным возмущениям.— Изв. АН СССР. МЖГ, 1976, № 5.
7. Thomas A. S. W. The control of boundary-layer transition using a wave-superposition principle.— J. Fluid Mech., 1983, v. 137.
8. Гилёв В. М., Козлов В. В. Влияние периодического вдува-отсоса на процесс перехода в пограничном слое. Препринт № 1.— Новосибирск: ИТПМ СО АН СССР, 1985.
9. Laurien E., Kleiser L. Numerical simulation of active transition control by wave superposition. DFVLR AVA-221-84 A14, 1984.
10. Володин А. Г., Зельман М. Б. Трехволновое резонансное взаимодействие возмущений в пограничном слое.— Изв. АН СССР. МЖГ, 1978, № 5.

Поступила 28/X 1985 г.

УДК 532.526.013.4

О ВОСПРИИМЧИВОСТИ ПОГРАНИЧНОГО СЛОЯ К АКУСТИЧЕСКИМ ВОЗМУЩЕНИЯМ

В. Н. Жигулев, А. В. Федоров

(Москва)

Известно, что в случае малых внешних возмущений лампнарно-турбулентный переход в пограничном слое обусловлен развитием неустойчивых собственных колебаний — волн Толлмина — Шлихтинга (ТШ) [1, 2]. Местоположение зоны перехода и характер развития переходного процесса существенно зависят от восприимчивости пограничного слоя к внешним возмущениям, т. е. от механизмов возбуждения волн ТШ фоновыми возмущениями. К типичным механизмам генерации волн неустойчивости относятся рассеяние акустических волн на пространственных неоднородностях течения, обусловленных неровностью обтекаемой поверхности или неоднородными граничными условиями (неравномерный нагрев стенки, локальный массообмен через проницаемую поверхность и т. п.).

В [3] экспериментально последовало возбуждение волн ТШ продольной акустической волной на малой локальной неровности плоской пластины. Асимптотический анализ этой задачи выполнен в [4] методом сращиваемых разложений для случая, когда неровность расположена в окрестности первой ветви нейтральной кривой. Генерация волн ТШ звуком на синусоидальной и распределенной волнистостях обтекаемой пластины рассмотрена в [5] при малых числах Маха набегающего потока.

В настоящей работе теоретически исследуется возбуждение волн ТШ акустической волной на локальной пространственной неоднородности течения в пограничном слое сжимаемого газа. Анализ проводится с помощью разложения решений по системе собственных функций линеаризованных уравнений Навье — Стокса [6, 7]. Генерация волн неустойчивости — следствие слабого нелинейного взаимодействия звука с неоднородностью течения. Расчеты по возбуждению волны ТШ на отдельной неровности в пограничном слое на плоской пластине хорошо согласуются с экспериментальными данными [3].

Если локальные неоднородности малы или удалены от точки потери устойчивости, так что конечные амплитуды генерируемых волн ТШ невелики, то может стать доминирующей распределенная генерация волн неустойчивости. В этом случае возбуждение вызвано рассеянием акустической волны на слабой неоднородности, обусловленной непараллельностью течения в пограничном слое [8—10]. В данной работе выполнено сравнение эффективности генерации волн ТШ звуком на локальной неровности и на распределенной неоднородности течения.

1. Рассмотрим течение сжимаемого газа в двумерном пограничном слое. На расстоянии L от передней кромки обтекаемой пластины расположена неровность, вызывающая стационарное возмущение в пограничном слое. Внешняя акустическая волна с заданной амплитудой и частотой ω падает под углом ψ к пластине, рассеивается на неровности и возбуждает волну ТШ той же частоты. Необходимо определить характеристики генерируемой волны ТШ.

Введем систему координат, как показано на рис. 1. Выберем характерные масштабы длины по оси x — L , по оси y — $\delta = (\nu_\infty L / U_\infty)^{1/2}$, характерное время — δ / U_∞ (ν_∞ , U_∞ — кинематическая вязкость и скорость в набегающем потоке). Ограничимся рассмотрением двумерных возмущений. Поле течения опишем вектор-функцией

$$\Psi(x, y, t) = \left(u, \frac{\partial u}{\partial y}, v, p, \theta, \frac{\partial \theta}{\partial y}, \frac{\partial u}{\partial x}, \frac{\partial v}{\partial x}, \frac{\partial \theta}{\partial x} \right),$$

где u , v — x - и y -компоненты скорости, отнесенные к U_∞ ; p — давление в единицах $\rho_\infty U_\infty^2$ (ρ — плотность); θ — температура, отнесенная к температуре набегающего потока T_∞ .

Представим возмущенное поле течения в виде

$$(1.1) \quad \Psi(x, y, t) = \mathbf{Q}(x, y) + h\mathbf{q}(x, y) + \text{Re} [\mathbf{A}(x, y)e^{-i\omega t}].$$

Здесь $\mathbf{Q}(x, y)$ описывает основное течение в пограничном слое на ровной поверхности и меняется по оси x на масштабе L ; $\mathbf{A}(x, y)$ — амплитуда нестационарного возмущения, включающего внешнюю акустическую волну; $\mathbf{q}(x, y)$ соответствует стационарному возмущению от неровности, локализованной на масштабе εL ; $\varepsilon = \text{R}^{-1} = (\nu_\infty / U_\infty L)^{1/2} \ll 1$.

Форма неровности задается уравнением

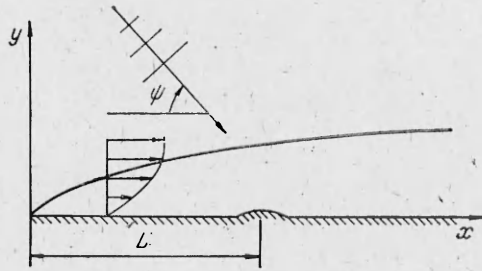
$$y_w(s) = hf(s), \quad s = \varepsilon^{-1}(x - x_*), \quad f(s) = O(1)$$

($x_* = 1$ — координата центра неровности). Предполагается, что высота неровности h много меньше толщины вязкого подслоя. Тогда возмущение от неровности описывается линеаризованными уравнениями Навье — Стокса [4, 11].

Подставляя (1.1) в уравнения Навье — Стокса и удерживая члены порядка ε , h для нестационарного возмущения и члены порядка h для стационарного, получим

$$(1.2) \quad \frac{\partial}{\partial y} \left(L_0 \frac{\partial \mathbf{A}}{\partial y} \right) + L_1 \frac{\partial \mathbf{A}}{\partial y} = H_1 \mathbf{A} + \varepsilon H_2 \frac{\partial \mathbf{A}}{\partial x} + \varepsilon H_3 \mathbf{A} + h H_4(\mathbf{q}) \mathbf{A};$$

$$(1.3) \quad \frac{\partial}{\partial y} \left(L_0 \frac{\partial \mathbf{q}}{\partial y} \right) + L_1 \frac{\partial \mathbf{q}}{\partial y} = H_1 \mathbf{q} + \varepsilon H_2 \frac{\partial \mathbf{q}}{\partial x}.$$



Р и с. 1

Матрицы L_0, L_1, H_1, H_2 размерностью 9×9 зависят от основного течения, частоты и от x как от параметра. Их явный вид дан в [7]. В (1.3) элементы матриц вычисляются при $\omega = 0$. Оператор H_3 содержит члены, обусловленные непараллельностью основного течения. Оператор H_4 описывает нелинейное взаимодействие стационарного q и нестационарного A возмущений.

Для теплоизолированной высокотемпературопроводной поверхности выполняются граничные условия

$$(1.4) \quad \Psi_1(x, y_w, t) = \Psi_3(x, y_w, t) = 0, \quad \Psi_5(x, y_w, t) = T_{wa}$$

где T_{wa} — температура теплоизолированной стенки. Раскладывая (1.4) в ряд в окрестности $y = 0$, имеем с точностью $O(h) + O(\epsilon)$

$$(1.5) \quad A_1(x, 0) = A_3(x, 0) = A_5(x, 0) = 0;$$

$$(1.6) \quad q_1(x, 0) = -U_w' f(s), \quad q_3(x, 0) = q_5(x, 0) = 0, \quad U_w' = Q_2(x, 0).$$

При $y \rightarrow \infty$ предполагаются ограниченность нестационарного возмущения и затухание стационарного возмущения:

$$(1.7) \quad |A(x, y)| < \infty, \quad y \rightarrow \infty;$$

$$(1.8) \quad |q(x, y)| \rightarrow 0, \quad y \rightarrow \infty.$$

В сечении x_0 , расположенном достаточно далеко вверх по потоку от локальной неровности, задано начальное условие

$$(1.9) \quad A(x_0, y) = A_0(y)$$

($A_0(y)$ — амплитуда звуковой волны).

Предполагается, что стационарное возмущение $q(x, y)$ локализовано возле неровности и затухает вверх и вниз по потоку от нее. Таким образом, для описания нестационарного поля течения необходимо найти стационарное поле q из системы (1.3), (1.6), (1.8) и решить смешанную задачу (1.2), (1.5), (1.7), (1.9). Такая постановка соответствует главному приближению для слабого нелинейного взаимодействия возмущений.

2. Амплитуду нестационарного возмущения A разложим по биортогональной системе собственных функций $\{A_\alpha, B_\alpha\}$ локально-однородной задачи [7], которая получается из (1.2), если пренебречь третьим и вторым членами в правой части:

$$A(x, y) = \sum_{\alpha} c_{\alpha}(x) A_{\alpha}(x, y) \exp \varphi_{\alpha}(x), \quad \varphi_{\alpha} = i \int_{x_0}^x \epsilon^{-1} \alpha dx$$

(\sum_{α} обозначает суммирование по дискретному и интегрирование по непрерывному спектру). Здесь и далее собственные значения α безразмерны по масштабу длины δ . Анализ спектра и свойств биортогональной системы проведен в [7]. Выполняются соотношения ортогональности

$$(2.1) \quad \langle H_2 A_{\alpha}, B_{\beta} \rangle = \Delta_{\alpha \beta}, \quad \langle H_2 A, B \rangle = \int_0^{\infty} \sum_{i,j=1}^9 H_2^{ij} A_j \bar{B}_i dy,$$

где B_{α} — сопряженная к A_{α} функция; $\Delta_{\alpha \beta}$ — символ Кронекера, когда хотя бы одно из собственных значений принадлежит дискретному спектру; $\Delta_{\alpha \beta} = \delta(\alpha - \beta)$ — дельта-функция, если α, β относятся к непрерывному спектру; черта сверху — комплексное сопряжение.

Ограничимся двухмодовым режимом, описывающим взаимодействие акустической волны с волновым числом α_A и волны ТШ с собственным значением α_{TS} :

$$(2.2) \quad \mathbf{A} = c_A(x) \mathbf{A}_A(x, y) e^{\varphi_A(x)} + c_{TS}(x) \mathbf{A}_{TS}(x, y) e^{\varphi_{TS}(x)}.$$

Подставляя (2.2) в (1.2) и используя соотношение ортогональности (2.1), имеем

$$(2.3) \quad \frac{dc_{TS}}{dx} = c_{TS} W_{TS,TS} + \varepsilon^{-1} h c_{TS} W_{h,TS,TS} + c_A W_{A,TS} e^{\varphi_A - \varphi_{TS}} + \\ + \varepsilon^{-1} h c_A W_{h,A,TS} e^{\varphi_A - \varphi_{TS}}, \\ \frac{dc_A}{dx} = c_A W_{A,A} + \varepsilon^{-1} h c_A W_{h,A,A} + c_{TS} W_{TS,A} e^{\varphi_{TS} - \varphi_A} + \varepsilon^{-1} h c_{TS} W_{h,TS,A} e^{\varphi_{TS} - \varphi_A}, \\ c_{TS}(x_0) = 0, c_A(x_0) = c_{A0} = \langle H_2 \mathbf{A}_0, \mathbf{B}_A \rangle.$$

Здесь $W_{\alpha\beta} = -\langle H_2 \partial_x \mathbf{A}_\alpha, \mathbf{B}_\beta \rangle - \langle H_3 \mathbf{A}_\alpha, \mathbf{B}_\beta \rangle$ — матричные элементы, описывающие межмодовое взаимодействие из-за непараллельности основного течения [8—10]; $W_{h,\alpha,\beta} = -\langle H_4(\mathbf{q}) \mathbf{A}_\alpha, \mathbf{B}_\beta \rangle$ — матричные элементы, описывающие межмодовое взаимодействие, происходящее на локальной неоднородности течения.

После формального интегрирования уравнения для $c_{TS}(x)$ из (2.3) получаем

$$(2.4) \quad c_{TS}(x) = \left[\int_{x_0}^x \left(c_A W_{A,TS} e^{\varphi_A - \varphi_{TS}} + h \varepsilon^{-1} c_A W_{h,A,TS} e^{\varphi_A - \varphi_{TS}} \right) \times \right. \\ \left. \times \exp \left(- \int_{x_0}^x E dx \right) dx \right] \exp \left(\int_{x_0}^x E dx \right),$$

где $E = W_{TS,TS} + \varepsilon^{-1} h W_{h,TS,TS}$ — искажение собственного значения волны ТШ, обусловленное непараллельностью основного течения и локальной неровностью.

Разложим форму неровности и стационарное возмущение в интегралы Фурье:

$$f(s) = \frac{1}{2\pi} \int_{-\infty}^{\infty} \rho(\alpha_v) e^{i\alpha_v s} d\alpha_v, \\ \mathbf{q}(x, y) = \frac{1}{2\pi} \int_{-\infty}^{\infty} \rho(\alpha_v) \mathbf{A}_v(x, y) e^{i\alpha_v s} d\alpha_v, \quad s = \varepsilon^{-1}(x - x_*).$$

Фурье-компонента \mathbf{A}_v является решением локально-однородной по x задачи

$$(2.5) \quad \frac{\omega}{dy} \left(L_0 \frac{d\mathbf{A}_v}{dy} \right) + L_1 \frac{d\mathbf{A}_v}{dy} = H_1 \mathbf{A}_v + i\alpha_v H_2 \mathbf{A}_{v3}, \\ A_{v1} = -U'_w, \quad A_{v3} = A_{v5} = 0, \quad y = 0, \quad |\mathbf{A}_v| \rightarrow 0, \quad y \rightarrow \infty.$$

Здесь элементы матрицы L_0, L_1, H_1, H_2 вычисляются при $\omega = 0$.

Так как оператор H_4 линейно зависит от \mathbf{q} , справедливо соотношение

$$(2.6) \quad W_{h,A,TS} = \frac{1}{2\pi} \int_{-\infty}^{\infty} \rho(\alpha_v) V_{v,A,TS} e^{i\alpha_v s} d\alpha_v,$$

где $V_{v,A,TS}(\alpha_v, \mathbf{A}_v)$ — матричный элемент, описывающий нелинейное взаимодействие между стационарным возмущением с волновым числом α_v и акустической волной. Пренебрегая в подынтегральном выражении

(2.4) первым членом, ответственным за возбуждение волны ТШ из-за непараллельности основного течения, и подставляя (2.6) в (2.4), имеем

$$(2.7) \quad c_{TS}(x) = \frac{h}{2\pi} \int_{-\infty}^{\infty} \rho(\alpha_v) I(\alpha_v) d\alpha_v \exp \left[\int_{x_0}^x E dx \right];$$

$$(2.8) \quad I(\alpha_v) = \varepsilon^{-1} \int_{x_0}^x c_A V_{v,A,TS} e^{\varphi_A - \varphi_{TS} + \varphi_v} \exp \left[- \int_{x_0}^x E dx \right] dx,$$

$$\varphi_v = i\varepsilon^{-1} \int_{x_*}^x \alpha_v dx.$$

Пусть координата центра неровности x_* совпадает с точкой потери устойчивости $x_{п.у}$ для волны ТШ (ниже дано обобщение для неровности, смещенной из точки $x_{п.у}$). Тогда в точке x_* реализуется резонансный режим возбуждения при $\alpha_v \equiv \alpha_{v*} = \alpha_{TS} - \alpha_A$. Большой параметр ε^{-1} в показателе экспоненты подынтегрального выражения в (2.8) позволяет определить асимптотику интеграла $I(\alpha_v)$ методом перевала. Вниз по потоку от неровности для $x - x_* \gg \varepsilon^{1/2} x_*$, $\varepsilon \rightarrow 0$

$$(2.9) \quad I(\alpha_{v*}) = c_A(x_*) g \exp \left[i \int_{x_0}^{x_*} \varepsilon^{-1} (\alpha_A - \alpha_{TS}) dx - \int_{x_0}^{x_*} E dx \right],$$

$$g = \left(\frac{2\pi}{\varepsilon \left| \frac{d\alpha_{TS}}{dx} \right|_*} \right)^{1/2} V_{v,A,TS}(\alpha_{v*}, x_*) e^{i\varphi} + O(\varepsilon^{1/2}).$$

Здесь звездочкой отмечены величины, вычисляемые в точке x_* ; φ — действительная константа, определяемая выбором ветви корня.

При отклонении от резонанса $\Delta\alpha = \alpha_v - \alpha_{v*}$ седловая точка z_* определяется уравнением $\alpha_A - \alpha_{TS} + \alpha_v = 0$, будет комплексной:

$$z_* = x_* + \frac{\Delta\alpha}{\left(\frac{d\alpha_{TS}}{dx} \right)_*} + O(\Delta\alpha^2).$$

Продолжим подынтегральные функции $c_A(x)$, $V_{v,A,TS}(x)$ в малую окрестность комплексной плоскости z , захватывающую $\sqrt{\varepsilon}$ -окрестность седловой точки, предполагая, что эти функции аналитичны. Проинтегрируем (2.8) по контуру, проходящему через седловую точку по линии наискорейшего спуска, и разложим результат интегрирования в ряд в окрестности центра неровности x_* . Тогда при $\varepsilon \rightarrow 0$, $x - x_* \gg \varepsilon^{1/2} x_*$ имеем

$$(2.10) \quad I(\alpha_v, x) = I(\alpha_{v*}) \exp \left[\frac{i(\alpha_v - \alpha_{v*})^2}{2\varepsilon \left(\frac{d\alpha_{TS}}{dx} \right)_*} \right].$$

Подставляя (2.10) в (2.7) и интегрируя по всем α_v , принадлежащим области резонансного взаимодействия $|\alpha_v - \alpha_{v*}| \sim \varepsilon^{1/2} \alpha_{v*}$, получаем асимптотическое выражение для амплитуды генерируемой волны ТШ

$$(2.11) \quad \Phi_{TS}(x, y) = h a_A(x_*) \rho(\alpha_{v*}) V_{v,A,TS}(\alpha_{v*}, x_*) A_{TS}(x, y) e^{F_{TS}}.$$

$$a_A(x_*) = c_{A0} \exp \left[i \int_{x_0}^{x_*} \varepsilon^{-1} \alpha_A dx \right], \quad F_{TS} = \int_{x_*}^x (i\varepsilon^{-1} \alpha_{TS} + E) dx$$

($a_A(x_*)$ — амплитуда звуковой волны в точке резонанса). Если неровность смещена из точки потери устойчивости, α_{v*} будет комплексной. При вычислении интеграла в (2.7) необходимо продолжить подынтегральную функцию в область комплексных α_v , захватывающую $\sqrt{\varepsilon}$ -окрестность седловой точки α_{v*} , и воспользоваться методом перевала. В главном приближении по ε вновь приходим к соотношению (2.11).

Таким образом, возбуждение волн ТШ локализовано на участке $|x - x_*| \sim \varepsilon^{1/2} x_*$ и происходит в узком диапазоне волновых чисел формы неровности $|\alpha_v - \alpha_{v*}| \sim \varepsilon^{1/2} \alpha_{v*}$. При удалении волнового числа α_v от резонансного значения амплитуда генерируемой волны ТШ экспоненциально уменьшается.

3. Из (2.11) следует, что амплитуда максимальных по y пульсаций продольной компоненты массового расхода в возбуждаемой волне ТШ

$$(3.1) \quad q_m(x) = h \rho(\alpha_{v*}) |a_A(x_*)| P_{A,TS}(\alpha_{v*}, x_*) \frac{q_{TS}(x)}{q_{TS}(x_*)} \exp(\operatorname{Im} F_{TS});$$

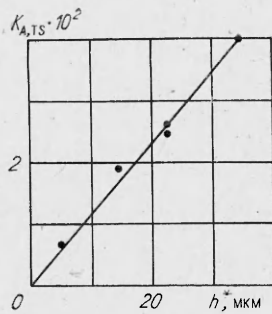
$$(3.2) \quad P_{A,TS} = \left| \frac{V_{v,A,TS}(\alpha_{v*}, x_*)}{\langle H_2 A_{TS}, B_{TS} \rangle_*} \right| q_{TS}(x_*),$$

где q_{TS} — модуль x -компоненты массового расхода, рассчитанный по вектору A_{TS} в точке максимума по y ; $P_{A,TS}$ — коэффициент связи акустической волны и волны ТШ, который характеризует эффективность механизма возбуждения. Введение множителя $\langle H_2 A_{TS}, B_{TS} \rangle^{-1}$ обеспечивает инвариантность (3.2) относительно выбора нормировки собственных функций A_{TS}, B_{TS} . Если нормировка акустической моды A_A фиксирована, коэффициент связи не зависит от формы неровности и интенсивности звуковой волны. Его значение равно амплитуде волны ТШ, возбуждаемой акустической волной единичной амплитуды ($a_A(x_*) = 1$) на неровности с высотой $h = 1$ и с резонансной гармоникой $\rho(\alpha_{v*}) = 1$.

Выполнены численные расчеты коэффициентов связи $P_{A,TS}$ для пограничного слоя на плоской пластине, обтекаемой газом с показателем адиабаты 1,41, числом Прандтля 0,72, температурой торможения 310 К. Число Маха в набегающем потоке варьировалось в диапазоне 0,2—0,8, вязкость рассчитывалась по формуле Сазерленда. Собственные функции и матричные элементы вычислялись в приближении Дана — Линя [12]. Акустическая мода задавалась условиями: угол падения $\psi = 20^\circ$, амплитуда пульсаций продольной компоненты скорости в падающей волне $u_A = 1$ при $x = x_*$. Результаты расчетов даны в таблице. Там же приведены числа Рейнольдса R , собственные значения волны ТШ α_{TS} и резонансные волновые числа α_{v*} . Из таблицы следует, что при дозвуковых скоростях потока эффективность возбуждения слабо зависит от частотного параметра $F = \omega v_\infty / U_\infty^2$.

Для проверки теории проведено сравнение с экспериментальными данными [3]. Эксперимент выполнен в пограничном слое на плоской пластине при скорости набегающего потока $U_\infty = 23,4$ м/с. Неровность располагалась на расстоянии $L = 0,565$ м от передней кромки, имела прямоугольную форму с продольным размером $l = 12$ мм (примерно четверть длины волны ТШ). Ее высота варьировалась в диапазоне $h^* = 5$ —35 мкм. Пограничный слой облучался плоской продольной акустической

M	R	$\alpha_{TS} \cdot 10^2$	$\alpha_{v*} \cdot 10^2$	$P_{A,TS} \cdot 10^2$	R	$\alpha_{TS} \cdot 10^2$	$\alpha_{v*} \cdot 10^2$	$P_{A,TS} \cdot 10^2$
	F=20·10 ⁻⁶				F=60·10 ⁻⁶			
0,2	1020	7,27	6,95	6,50	550	10,04	9,52*	6,37
0,4	1010	7,02	6,47	4,90	540	9,64	8,76	4,90
0,6	960	6,44	5,74	3,42	520	8,97	7,84	3,54
0,8	900	5,73	4,96	2,14	490	8,06	6,88	2,33



Р и с. 2

волной с частотой 138 Гц, распространяющейся вверх по потоку, $\psi = 180^\circ$. Условия эксперимента отвечают расчетные параметры: $M = 0,066$, $R = 901$, $F = 25,4 \cdot 10^{-6}$, $\alpha_A = -1,62 \cdot 10^{-3}$, $\alpha_{TS} = 7,93 \cdot 10^{-2}$. Вычислялся коэффициент порождения $K_{A,TS}$, равный отношению амплитуды пульсаций продольной скорости в волне ТШ, измеренной в точке максимума по y , к соответствующей амплитуде звуковой волны в той же точке. На рис. 2 приведено сравнение теоретического расчета (сплошная линия) с экспериментом (точки). Расхождение не превышает 11% и лежит в пределах точности измерений.

Следует отметить, что соотношение для амплитуды возбуждаемой волны ТШ (2.10) зависит только от локальных по x характеристик течения и справедливо для пограничных слоев на телах с характерным масштабом $\sim L$ при безотрывном обтекании. Данное соотношение позволяет рассчитывать возбуждение волны ТШ звуком на неоднородностях, обусловленных локальным нагревом стенки или локальным отсосом газа через пронизываемую поверхность. В этом случае необходимо поменять граничные условия в (2.5) при расчете резонансной фурье-гармоники стационарного возмущения.

Если локальная неровность обтекаемой поверхности исчезающе мала, в соотношении (2.4) доминирует матричный элемент $W_{A,TS}$, описывающий генерацию волн ТШ звуком на распределенной неоднородности, обусловленной непараллельностью течения в пограничном слое. Данный тип возбуждения рассмотрен в [8–10]. Для сравнения эффективностей генерации волны ТШ на локальной неровности и на непараллельности основного течения проведены расчеты в пограничном слое на плоской пластине при $M = 0,6$. Внешняя акустическая волна имела параметры: $F = 20 \cdot 10^{-6}$, $\psi = 20^\circ$. Расчет распределенной генерации выполнялся по алгоритму, изложенному в [9]. Локальное возбуждение вычислялось для неровности, расположенной в точке потери устойчивости ($R = 960$) и имеющей форму с резонансной фурье-гармоникой $\rho(\alpha_{v*}) = 1$. Расчеты показали, что возбуждение на распределенной неоднородности, обусловленной медленным нарастанием пограничного слоя вниз по потоку, эквивалентно возбуждению на локальной неровности, имеющей характерную размерную высоту $h^* \simeq 10^{-3}\delta$. Так, для пограничного слоя с $\delta = 0,6$ мм, что соответствует условиям эксперимента [3], эквивалентная неровность в точке потери устойчивости $h^* \simeq 0,6$ мкм. Как и следовало ожидать, распределенная генерация волны ТШ значительно слабее генерации на локальной неоднородности течения. Это объясняется тем, что масштаб неоднородности течения на ровной поверхности L значительно превосходит масштаб межмодового обмена $l \sim \epsilon L / |\alpha_A - \alpha_{TS}|$. Подынтегральная функция в (2.4) быстро осциллирует, и интеграл имеет экспоненциально малые значения.

Авторы выражают благодарность А. М. Тумину за полезные обсуждения.

ЛИТЕРАТУРА

1. Качанов Ю. С., Козлов В. В., Левченко В. Я. Возникновение турбулентности в пограничном слое. — Новосибирск: Наука, 1982.
2. Жигулев В. Н. Проблема определения критических чисел Рейнольдса перехода ламинарного пограничного слоя в турбулентный. — В кн.: Механика неоднородных сред. Новосибирск: ИТПМ СО АН СССР, 1981.
3. Айзин Л. Б., Поляков Н. Ф. Генерация волны Толлмина — Шлихтинга звуком на отдельной неровности поверхности, обтекаемой потоком. Препринт № 17. — Новосибирск: ИТПМ СО АН СССР, 1979.
4. Рубан А. И. О генерации волн Толлмина — Шлихтинга звуком. — Изв. АН СССР. МЖГ, 1984, № 5.

5. Завольский Н. А., Реутов В. П., Рыбушкина Г. В. Возбуждение волн Толлмина — Шлихтинга при рассеянии акустических и вихревых возмущений в пограничном слое на волнистой поверхности. — ПМТФ, 1983, № 3.
6. Жигулев В. Н., Сидоренко Н. В., Тумин А. М. О генерации волн неустойчивости в пограничном слое внешней турбулентностью. — ПМТФ, 1980, № 6.
7. Тумин А. М., Федоров А. В. Пространственное развитие возмущения в пограничном слое сжимаемого газа. — ПМТФ, 1983, № 4.
8. Жигулев В. Н. О возбуждении и развитии неустойчивостей в трехмерных стационарных пограничных слоях. — ПМТФ, 1983, № 4.
9. Федоров А. В. Возбуждение волн неустойчивости в пограничном слое сжимаемого газа под действием акустического поля. — ЧММСС, 1982, т. 13, № 3.
10. Fedorov A. V. Excitation of the Tollmien — Schlichting waves by the acoustic disturbances in the compressible boundary layer. — In: Proc. IUTAM Symp. Berlin: Springer, 1985.
11. Боголенов В. В., Нейланд В. Я. Обтекание малых неровностей на поверхности тела, обтекаемого сверхзвуковым потоком вязкого газа. — Тр. ЦАГИ, 1971, вып. 1363.
12. Гапонов С. А., Маслов А. А. Развитие возмущений в сжимаемых потоках. — Новосибирск: Наука, 1980.

Поступила 26/XI 1985 г.

УДК 532.527

ДИНАМИКА ЛАМИНАРНЫХ ВИХРЕВЫХ КОЛЕЦ В СТРАТИФИЦИРОВАННОЙ ЖИДКОСТИ

В. С. Беллев, А. М. Савинков, Ю. Д. Чашечкин

(Москва)

Изучение изолированных вихрей и взаимодействующих между собой вихревых образований различных масштабов (основных структурных элементов развитой турбулентности) — традиционная задача гидродинамики. В последние годы наблюдается значительный прогресс в объяснении природы устойчивости вихрей, обусловленной стабилизирующим влиянием центробежных сил, подавляющих перенос в радиальном направлении [1]. Экспериментально установлено, что внутри турбулентных кольцевых вихрей существует ламинарное ядро [2]. Обзор теоретических и экспериментальных работ по движению вихрей в однородной жидкости приведен в [3]. Динамика изолированного вихря в значительной степени определяется вовлечением окружающей жидкости в циркуляционное течение и потерей завихренности в слутный след.

Более сложен вопрос об устойчивости и эволюции вихря в стратифицированной среде, где наряду с центробежными действуют силы плавучести, подавляющие движение в вертикальном направлении. В большинстве экспериментальных работ изучается вертикальное движение вихревых колец в неоднородной жидкости [4], моделирующих движение термик в стратифицированной атмосфере [5, 6], вихревых жгутов за крылом самолета [7, 8], структурных элементов свободных турбулентных течений [9]. Визуализация ламинарного вихревого кольца, движущегося вдоль поверхности раздела смешивающихся жидкостей, проведена в [10]. Взаимодействие наклонно движущегося вихревого кольца со скачком плотности экспериментально изучалось в [11]. Из анализа феноменологических и численных моделей следует, что вихревое кольцо, движущееся вдоль поверхности раздела, должно наклоняться и ложиться горизонтально [12]. Цель данной работы — экспериментальное исследование динамики и структуры ламинарных кольцевых вихрей в жидкости с линейным распределением плотности.

1. Эксперименты проведены в прямоугольном бассейне размером $140 \times 40 \times 46$ см, боковые стенки которого изготовлены из оптического стекла. Бассейн послойно заполнялся водным раствором поваренной соли переменной концентрации. Толщина слоя 4 см. Через 2 сут после заполнения молекулярная диффузия сглаживала ступенчатый профиль плотности. Контроль однородности градиента проводился по теневой картине (методом вертикальная или горизонтальная щель — нож Фуко) с помощью плотностной метки [13], а также по распределению удельной электропроводности, измеренной микроконтактным преобразователем [14]. Картина течения визуализировалась теневым прибором ИАБ-451 и регистрировалась кинокамерой ИКСР или автоматической фотокамерой РФК-5 с частотой съемки от 4 до 10 кадр/с и выдержкой $1/250$ с. Геометрические характеристики вихрей измерялись по теневым кинограммам стереокомпаратором STECOMETER (ГДР) с погрешностью (с учетом